

The Removal of Tetracycline Antibiotic by Advanced Oxidation Method of Sodium Monopersulfate Activated by Steel Industry Slag from Pharmaceutical Effluent

L. Khosravi Pour¹, N. Mehrdadi², A. Takdastan³, Gh. R. Nabi Bidhendi⁴

1. PhD. Student in Water and Wastewater Engineering, at Aras International Campus, University of Tehran, Jolfa, Iran
2. Prof., Dept. of Environmental Engineering, Faculty of Environment, University of Tehran, Tehran, Iran
(Corresponding Author) mehrdadi@ut.ac.ir
3. Prof., Environmental Technologies Research Center, Ahvaz Jundishapur University of Medical Sciences, Ahvaz, Iran
4. Prof., Dept. of Environmental Engineering, Faculty of Environment, University of Tehran, Tehran, Iran

(Received Nov. 17, 2021 Accepted Feb. 1, 2022)

To cite this article:

Khosravi Pour, L., Mehrdadi, N., Takdastan, A., Nabi Bidhendi, Gh. R. 2022. "The removal of tetracycline antibiotic by advanced oxidation method of sodium monopersulfate activated by steel industry slag from pharmaceutical effluent" Journal of Water and Wastewater, 33(2), 17-30. Doi: 10.22093/wwj.2021.315343.3199. (In Persian)

Abstract

Today, antibiotics are known as one of the major environmental pollutants, particularly of water, due to their widespread use, toxicity, causing drug resistance and their lasting effects. This study was designed to evaluate the efficiency of the advanced oxidation process of sodium monopersulfate activated with steel industry slag in the presence of ultraviolet rays aimed at eliminating the tetracycline antibiotic from aqueous and effluent media. We examined the effect of the variables of pH, solution temperature, reaction time, initial concentration of antibiotics, sodium monopersulfate concentration, and the UV ray intensity on the process efficiency. A high-performance liquid chromatography machine was used to measure the concentration of the tetracycline antibiotic. According to the study results, under optimal and certain conditions (sodium monopersulfate: 2 mM, pH: 2, iron ions level in the steel industry slag: 0.4 g/L, UV intensity: 8 watts) and during 60 minutes, the elimination efficiency rates of tetracycline antibiotic, COD, and TOC were obtained as 98%, 61.8%, and 48.9%, respectively, with a mineralization level higher than 55%. The rate of tetracycline antibiotic removal was directly related to the concentrations of iron ions, sodium monopersulfate, UV intensity, and the temperature, while increasing the pH from 2 to 10 decreased the process efficiency from 98% to 46%; and enhancing the initial concentration of tetracycline antibiotic from 5 to 50 mg/L also reduced the removal rate of the antibiotic from 86% to 47%. The research revealed that the advanced oxidation process of sodium monopersulfate activated by steel industry slag in the presence of ultraviolet rays can be used as a proper method with effective efficiency to eliminate the high concentration of antibiotics found in a real sewage sample.

Keywords: Advanced Oxidation, Steel Industry Slag, Tetracycline Antibiotic, Hospital Effluent.



مجله آب و فاضلاب، دوره ۳۳، شماره ۲، صفحه: ۱۷-۳۰

حذف آنتی‌بیوتیک تتراسایکلین با روش اکسیداسیون پیشرفته مونوپرسولفات سدیم فعال شده توسط سرباره صنایع فولاد از پساب دارویی

لاله خسروی‌پور^۱، ناصر مهردادی^۲، افشین تکدستان^۳، غلام‌رضا نبی‌بیدهندی^۴

- ۱- دانشجوی دکترا رشته مهندسی آب و فاضلاب، دانشکده محیط‌زیست، پردیس بین‌المللی ارس دانشگاه تهران، جلفا، ایران
- ۲- استاد، گروه مهندسی محیط‌زیست، دانشکده محیط‌زیست، دانشگاه تهران، تهران، ایران (نویسنده مسئول) mehrdadi@ut.ac.ir
- ۳- استاد، مرکز تحقیقات فناوری‌های محیط‌زیستی، دانشگاه علوم پزشکی جندی‌شاپور اهواز، اهواز، ایران
- ۴- استاد، گروه مهندسی محیط‌زیست، دانشکده محیط‌زیست، دانشگاه تهران، تهران، ایران

(دریافت ۱۴۰۰/۰۷/۲۶) پذیرش ۱۴۰۰/۱۱/۱۲

برای ارجاع به این مقاله به صورت زیر اقدام بفرمایید:
 خسروی‌پور، ل، مهردادی، ن، تکدستان، ا، نبی‌بیدهندی، غ. ر.، ۱۴۰۱، "حذف آنتی‌بیوتیک تتراسایکلین با روش اکسیداسیون پیشرفته مونوپرسولفات سدیم فعال شده با سرباره صنایع فولاد در حضور اشعه ماوراء بنفش برای حذف آنتی‌بیوتیک تتراسایکلین از محیط‌های آبی و پساب بود. در این پژوهش اثر متغیرهای pH، دمای محلول، مدت زمان واکنش، غلظت اولیه آنتی‌بیوتیک‌ها، غلظت منوپرسولفات سدیم و شدت اشعه ماوراء بنفش بر کارایی فرایند بررسی شد. غلظت آنتی‌بیوتیک تتراسایکلین توسط دستگاه کروماتوگرافی مایع با عملکرد بالا اندازه‌گیری شد. در این پژوهش و در شرایط بهینه و در زمانی که غلظت منوپرسولفات سدیم ۲ میلی‌مولار، pH برابر ۲، میزان یون‌های آهن موجود در سرباره صنایع فولاد ۴/۰ گرم در لیتر، شدت اشعه ماوراء بنفش ۸ وات و در مدت زمان ۶۰ دقیقه کارایی حذف آنتی‌بیوتیک تتراسایکلین، COD و TOC به ترتیب برابر با ۶۱/۸، ۹۸، ۴۸/۹ درصد و مقدار معدنی سازی بیشتر از ۵۵ درصد به دست آمد. میزان حذف آنتی‌بیوتیک تتراسایکلین رابطه مستقیمی با غلظت یون‌های آهن، منوپرسولفات سدیم، شدت اشعه ماوراء بنفش و درجه حرارت داشت، در حالی که با افزایش مقدار pH از ۲ به ۱۰ میزان بازدهی فرایند از ۹۸ درصد به ۴۶ درصد و با افزایش غلظت اولیه آنتی‌بیوتیک تتراسایکلین از ۵ به ۵۰ میلی‌گرم در لیتر میزان حذف آنتی‌بیوتیک از ۸۶ درصد به ۴۷ درصد کاهش یافت. در این پژوهش مشخص شد فرایند اکسیداسیون پیشرفته منوپرسولفات سدیم فعال شده با سرباره صنایع فولاد در حضور اشعه ماوراء بنفش یک روش مناسب با کارایی مؤثر برای غلظت زیاد آنتی‌بیوتیک‌های موجود در یک نمونه فاضلاب واقعی است.

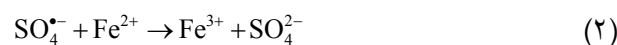
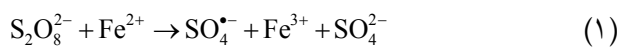
واژه‌های کلیدی: اکسیداسیون پیشرفته، سرباره صنایع فولاد، آنتی‌بیوتیک تتراسایکلین، پساب بیمارستانی



H_2O_2 توجه متخصصین محیط‌زیست را برای اهداف تصفیه و پاک‌سازی جلب کرده است. در مقایسه با رادیکال‌های هیدروکسیل، رادیکال‌های سولفات، پتانسیل اکسیداسیون و نیمه‌عمر بیشتری دارند (Babaei et al., 2015; García Perdomo et al., 2022).

فعال‌سازی پرسولفات برای تولید رادیکال سولفات SO_4^{2-} از طریق روش‌های مختلفی مانند کاتالیز فلزی، الکتروشیمی، حرارت و تابش اشعه ماوراء بنفش^۲ انجام می‌شود، در میان این تکنیک‌ها، یون آهن دو ظرفیتی به‌دلیل غیرسمی، ارزان قیمت و مؤثر بودن، به‌طور گسترده‌ای برای فعال‌سازی پرسولفات استفاده می‌شوند، همچنین نور ماوراء بنفش می‌تواند نقش مهمی در بهبود میزان تجزیه و تخریب مواد آلی داشته باشد (Jorfi et al., 2017).

فعال‌سازی پرسولفات با استفاده از (Fe^{2+}) سرباره صنایع فولاد را می‌توان از طریق معادلات ۱، ۲، ۳ و ۴ بیان کرد (Shiraz et al., 2018).



سرباره یکی از زائدات صنعت فولاد است که برای این صنعت مراحت زیادی ایجاد می‌کند، اما امروزه با شناخت مصارف متعدد آن مانند کاربرد در مصالح ساختمانی و راهسازی، از یک ماده مزاحم به یک ماده مفید و اقتصادی تبدیل شده است (Takdastan et al., 2017).

یکی از کاربردهای سرباره استفاده به عنوان جاذب در حذف آلانینده‌های محیط‌زیست است. در پژوهش‌های انجام شده، کاربرد موفق سرباره به عنوان جاذب در حذف فسفات، آمونیوم، آلانینده‌های آلی و فلزات سنگینی مانند مس، آرسنیک و سرب گزارش شده است (Kurt et al., 2017).

در این پژوهش فرایند اکسیداسیون پیشرفته پرسولفات سدیم فعال شده توسط یون‌های آهن موجود در سرباره

۱- مقدمه

پساب حاوی ترکیبات دارویی و آنتی‌بیوتیک‌ها مانند پساب خروجی از تصفیه خانه فاضلاب بیمارستانی و شرکت‌های داروسازی یکی از مشکلات در رابطه با آلودگی محیط‌زیست هستند. برخی از ترکیبات دارویی به‌ویژه آنتی‌بیوتیک‌ها اثرات نامطلوبی بر انسان و محیط‌زیست حتی در غلظت‌های کم محیطی ایجاد می‌کنند (Liu et al., 2012; Liu et al., 2021). از مهم‌ترین اثرات منفی حضور آنتی‌بیوتیک‌ها، توسعه مقاومت میکروبی است، از خواص آنتی‌بیوتیک‌ها می‌توان به قابلیت تجزیه بیولوژیکی کم، سمیت بالا، خاصیت سرطان‌زاوی و موتازنی صدمه به DNA و لنفوسيت، افزایش آرژی در انسان، گسترش باکتری‌های مقاوم به آنتی‌بیوتیک‌ها و ایجاد عوارض پیش‌بینی نشده بر روی انسان و حیوانات اشاره کرد (Gao et al., 2012).

گسترش مصرف آنتی‌بیوتیک‌ها برای مصارف انسانی، کشاورزی، دام و طیور باعث افزایش حضور این آلانینده در منابع آبی شده و به علت متابولیزه شدن ناقص در بدن و احتمال تخلیه بیشتر به محیط‌زیست، جایگاه ویژه‌ای دارند (Jeong et al., 2010; Liu et al., 2021). در تصفیه فاضلاب، با استفاده از فرایند اکسیداسیون پیشرفته^۱، مواد دارویی کاملاً اکسید و حذف می‌شوند (Michael et al., 2013). آنتی‌بیوتیک تتراسایکلین با معادله $C_{22}H_{24}O_8$ و وزن مولکولی $(g/mol) = 444/425$ است که در درمان طیف وسیعی از عفونت‌های باکتریایی استفاده می‌شود (H Mahdi et al., 2021). روش‌های اکسیداسیون پیشرفته بر پایه منوپرسولفات با فعال‌سازی فیزیکی و شیمیایی، اقبال بیشتری برای تصفیه فاضلاب دارند. این رویکرد به‌دلیل ماهیت این فرایند، در تصفیه طیف گستره‌های از آلانینده‌ها در محیط‌های آبی و پساب و تبدیل آلانینده‌ها به مواد غیرآلی بی‌ضرر، مانند CO_2 و H_2O است (Ahmadi et al., 2017a). فرایند‌های اکسیداسیون پیشرفته برای تجزیه ترکیبات آلی گرینه‌ای مناسب در مقایسه با روش‌های متداول تصفیه بوده و مزایایی مانند عدم تولید مقدار زیاد لجن در مقایسه با سایر روش‌ها را دارد. همچنین به‌دلیل پایداری پرسولفات و مقرون به‌صرفه بودن در مقایسه با سایر اکسیدکننده‌ها مانند O_3 .

² Ultra Violet (UV)

¹ Advanced Oxidation Processes (AOPs)



سولفات جیوه ($HgSO_4$). سولفات نقره (Ag_2SO_4). دی کرومات پتاسیم (K_2CrO_7), اسید سولفوریک, اسید کلریدریک (HCl). هیدروکسید سدیم ($NaOH$). تیوسولفات سدیم ($Na_2S_2O_3$).^۱ پرسولفات سدیم ($Na_2S_2O_8$) و اسید نیتریک از شرکت مرک^۲ آلمان. پودر آنتی بیوتیک تتراسایکلین با خلوص بیش از ۹۸ درصد از شرکت آلدريچ^۳ تهیه شد. محلول ذخیره آنتی بیوتیک با مقدار مشخصی از پودر آنتی بیوتیک در آب مقطر (DI) به دست آمده و در غاظت‌های مطلوب رقیق شد و تا زمان انجام آزمایش در دمای ۴ درجه سلسیوس نگهداری شد.

برای تهیه کلیه محلول‌های آزمایش از آب دیونیزه، همچنین برای تنظیم pH محلول، از اسید کلریدریک و هیدروکسید سدیم ۱/۰ مولار استفاده شد. از سرباره صنایع فولاد به عنوان جاذب برای حذف آنتی بیوتیک تتراسایکلین استفاده شد.

۲- دستگاه‌های مورد نیاز

در این پژوهش از یک راکتور به حجم ۵۰۰ میلی لیتر، به ابعاد ۳۵۰ میلی متر قطر و ۱۰۰۰ میلی متر ارتفاع از جنس کوارتز، سرعت قابل تنظیم از ۶۰ تا ۴۵۰ دور در دقیقه، تحمل دمایی از -۴۰- +۲۰۰ درجه سلسیوس استفاده شد. برای اندازه‌گیری میزان اکسیژن خواهی شیمیایی^۳ از دستگاه اسپکتروفتومتر (DR4000 HACH) و همچنین برای تنظیم و اندازه‌گیری pH از دستگاه pH متر مدل HQ 40d (HQ 40d HACH) استفاده شد.

اندازه‌گیری و سنجش غاظت آنتی بیوتیک تتراسایکلین توسط دستگاه کروماتوگرافی مایع با کارایی بالا (HPLC-UV) مدل Agilent 1220 infinity Lc system ماورای بنفس با طول موج ۲۶۱ نانومتر، با استفاده از ستون C18 به ابعاد ۴/۶ mm × ۲۵۰ mm با ذرات به قطر ۵/۰ میکرون، حجم تزریق ۲۰ میکرولیتر و دمای ستون ۲۳ درجه سلسیوس، با سرعت جریان ۲ میلی لیتر در دقیقه انجام شد. برای آنتی بیوتیک تتراسایکلین مخلوطی از محلول فسفات ۱۰ میلی مولار: متانول: استونیتریل (۱۰:۱۰:۸۰) به عنوان فاز متحرک استفاده شد.

صنایع فولاد در حضور اشعه ماورای بنفس با طول موج مشخص برای حذف آنتی بیوتیک تتراسایکلین از محلول‌های آبی و پساب انجام شد. همچنین میزان تجزیه پذیری زیستی و درجه معدنی‌سازی نیز اندازه‌گیری شد و در پایان، آزمایش‌های مشابه در نمونه واقعی فاضلاب بیمارستانی حاوی مقدار مشخصی از آنتی بیوتیک تتراسایکلین انجام شد تا کاربرد و میزان کارایی فرایند فوق در محیط طبیعی مشخص شود. این پژوهش تحت متغیرهای ورودی مانند pH محلول، غلظت یون آهن، غلظت پرسولفات سدیم، میزان دما، مدت زمان واکنش، غلظت اولیه آنتی بیوتیک و شدت اشعه ماورای بنفس انجام شد.

پژوهش‌های بسیاری در خصوص بررسی غلظت آنتی بیوتیک‌ها در پساب انجام شده اما تاکنون فرایند حذف آنتی بیوتیک تتراسایکلین در محلول‌های آبی و پساب دارویی توسط فرایند اکسیداسیون پیشرفت‌هه متوجه سولفات سدیم فعال شده با یون‌های آهن موجود در سرباره صنایع فولاد در حضور اشعه ماورای بنفس انجام نشده و با توجه به سابقه اندک روش فوق در تصفیه پساب دارویی، روشی نوین به نظر می‌رسد.

خرایند اشعه ماورای بنفس / پراکسی مونوسولفات در حذف آنتی بیوتیک سفکسیم از محلول‌های آبی به این نتیجه رسیدند که استفاده از فتوکاتالیست پراکسی مونوسولفات به همراه UV کارایی خوبی در حذف آنتی بیوتیک داشته به طوری که درصد حذف آنتی بیوتیک سفکسیم در غلظت اولیه بهینه ۱۵ mg/L تحت شرایط بهینه برای سایر پارامترها برابر ۹۳/۱۸ درصد بود (Khazaei et al., 2019).

در پژوهش دیگری گیو و همکاران در سال ۲۰۱۷ به بررسی تجزیه اکسیداسیونی آنتی بیوتیک‌های نورفلوکسازین و انروفلوکسازین از محیط‌های آبی با استفاده از فرایند پرسولفات فعال شده با امواج UV پرداختند، مشاهده شد که کارایی فرایند با افزایش غلظت پرسولفات و کاهش غلظت اولیه آنتی بیوتیک، ارتقا می‌یابد (Guo et al., 2017).

۲- مواد و روش‌ها

۱-۲- مواد شیمیایی

در این پژوهش تجربی آزمایشگاهی مواد شیمیایی مورد نیاز شامل

^۱ Merck

^۲ Aldrich

^۳ Chemical Oxygen Demand (COD)



شامل غلظت آنتی‌بیوتیک تتراسایکلین ۵۰، ۳۰، ۲۰ و ۵ میلی‌گرم در لیتر، pH معادل ۱۰، ۸، ۶ و ۴ و زمان ماند محلول واکنش درون راکتور ۱۵، ۳۰ و ۴۵ دقیقه، غلظت پرسولفات سدیم ۱/۰ تا ۲ میلی‌مولار، شدت اشعه ماوراء بنسن ۸، ۶ و ۴ وات و دمای محلول ۴۰، ۳۰ و ۲۰ درجه سلسیوس است. برای اندازه‌گیری تأثیر پارامترها در هر مرحله فقط یکی از پارامترها به عنوان متغیر انتخاب و سایر پارامترها ثابت در نظر گرفته شدن. مقدار بهینه و تأثیر هر یک از متغیرها بر میزان حذف آنتی‌بیوتیک تتراسایکلین مشخص شد. تمامی آزمایش‌ها با ۳ بار تکرار و انحراف معیاری در حدود کمتر از ۵ درصد انجام شد. پس از بهینه‌سازی فرایند، سینتیک تخریب و مطالعات درجه معدنی‌سازی انجام شد. همچنین کارایی فرایند در نمونه فاضلاب واقعی بیمارستانی حاوی آنتی‌بیوتیک تتراسایکلین تحت شرایط بهینه بررسی شد و در نهایت مقدار حذف آنتی‌بیوتیک تتراسایکلین (%) و مقدار معدنی‌سازی از معادلات ۵ و ۶ محاسبه شد

$$Re\% = \left(\frac{C_0 - C_t}{C_0} \right) \times 100 \quad (5)$$

که در آن

C_0 نشان‌دهنده غلظت اولیه و C_t نشان‌دهنده غلظت نهایی آنتی‌بیوتیک بر حسب میلی‌گرم در لیتر است.

$$\text{Mineralization}(\%) = \left(\frac{\text{TOC}_t}{\text{TOC}_0} \right) \times 100 \quad (6)$$

که در آن

TOC_0 و TOC_t نشان‌دهنده میزان کل کربن آلتی اولیه و میزان کل کربن آلتی نهایی بر حسب میلی‌گرم در لیتر است.

در این پژوهش اندازه‌گیری تمام پارامترهای فیزیکو‌شیمیایی بر اساس آخرین روش‌های ارائه شده کتاب استاندارد مت ویرایش ۲۰ انجام شد.

۳- نتایج و بحث

۳-۱- عملکرد فرایند

حذف آنتی‌بیوتیک‌ها با استفاده از فرایندهای منفرد به دلیل قدرت

کل کربن آلتی^۱ با استفاده از آنالیزگر کل کربن آلتی VCHS/CSN آلتی VCHS/CSN SHIMADZU ساخت ژاپن اندازه‌گیری شد. لامپ‌های UV استفاده شده در این پژوهش با شدت‌های ۴ و ۶ و ۸ وات مدل PHILIPS ساخت کشور لهستان است. کلیه دستگاه‌های استفاده شده قبل از انجام آزمایشات، مطابق با کاتالوگ‌های مربوطه کالیبره شدند و منحنی کالیبراسیون آنها رسم شد.

۳-۲- تهیه و آماده‌سازی سرباره

برای افزایش قابلیت سرباره به عنوان جاذب از روش‌های اصلاحی استفاده می‌شود. از این رو سرباره ابتدا اصلاح شد و سپس به عنوان جاذب استفاده شد. به منظور اصلاح جاذب، ابتدا سرباره خرد شد و سپس توسط سرندهای مش ۵۰ و ۷۰ برای دستیابی به سرباره با اندازه‌های بین ۲/۰ تا ۰/۳ میلی‌متر الک شد. سپس سرباره با اسید هیدروکلریک ۱ مولار تصفیه شد. در مرحله آخر، سرباره چند بار با آب دیونیزه شستشو داده شد تا ناخالصی‌های آن حذف شد و سپس در فور با دمای ۱۰۵ درجه سلسیوس به مدت ۴ ساعت خشک شد. مراحل شستشو در بشر ۱ لیتری انجام و برای جداسازی سرباره از فیلتر کاغذی (واتمن ۴۰) استفاده شد.

۴- روش انجام آزمایش

در این پژوهش که در مقیاس آزمایشگاهی و پایلوت انجام شد، آزمایش‌های مربوطه در یک راکتور با حجم ۵۰۰ میلی‌لیتر حاوی ۲۵۰ میلی‌لیتر محلول واکنش انجام شد. ابتدا فاضلاب سنتیک حاوی غلظت‌های ۵۰، ۳۰، ۲۰، ۱۰ و ۵ میلی‌گرم در لیتر آنتی‌بیوتیک تتراسایکلین ساخته شد و پس از انتقال به راکتور و تنظیم pH و دما، همچنین افزودن غلظت‌های معین یون‌های آهن و پرسولفات سدیم به محلول درون راکتور و به دنبال آن استفاده از لامپ‌های UV با شدت‌های ۴ و ۶ و ۸ وات، سپس اختلاط محتويات درون راکتور با شدت ۳۰۰ دور در دقیقه انجام شد. پس از گذشت زمان موردنظر ۱۵، ۳۰، ۴۵ و ۶۰ دقیقه و به منظور اندازه‌گیری غلظت آنتی‌بیوتیک تتراسایکلین، نمونه پساب حاصل توسط دستگاه کروماتوگرافی مایع با کارایی بالا^۲ مجهر به آشکارساز اشعه ماوراء بنسن آنالیز شد. متغیرهای این پژوهش

¹ Total Organic Carbon (TOC)

² High Performance Liquid Chromatography (HPLC)



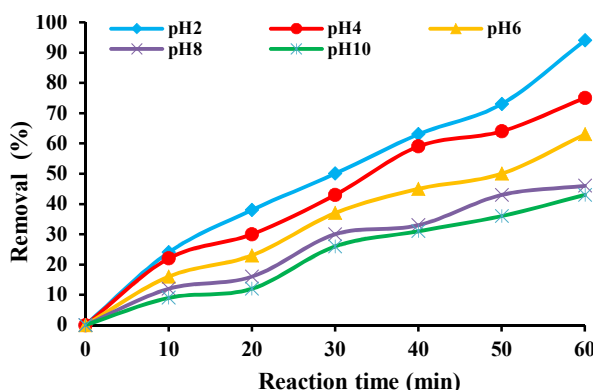


Fig. 1. The effect of different pH values on the removal efficiency of tetracycline by advanced oxidation process of sodium monopersulfate activated with steel industry slag

شکل ۱- تأثیر مقدار مختلف pH بر بازدهی حذف تتراسایکلین توسط فرایند اکسیداسیون پیشرفتہ مونوپرسولفات سدیم فعال شده با سرباره صنایع فولاد

ارتبط معناداری دارد. خزایی و همکاران در سال ۲۰۱۹ در پژوهشی با عنوان بررسی کارایی فرایند UV/پراکسی مونوپرسولفات در حذف آنتیبیوتیک سفکسیم از محلول های آبی به این نتیجه رسیدند که با افزایش pH محلول از ۳ به ۹ میزان کارایی حذف آنتیبیوتیک سفکسیم از ۹۷ درصد به ۹۳ درصد کاهش می یابد (Khazaei et al., 2019).

توسلی و همکاران در سال ۲۰۱۸ در مورد کارایی فرایند تلفیقی اولتراسونیک پرسولفات در کاهش مواد آلی فاضلاب سنتیک لبی، پژوهشی انجام دادند و به این نتیجه رسیدند که کارایی کلی فرایند در pH اسیدی نسبت به pH قلیایی برتری داشته، به طوری که با افزایش pH از ۵ به ۹ کارایی فرایند حذف مواد آلی از فاضلاب سنتیک کاهش می یابد (Tavassoli et al., 2018).

رادیکال های هیدروکسیل، بیشتر می توانند در محیط های قلیایی تشکیل شوند در حالی که غلظت رادیکال سولفاتات (SO_4^{2-}) در شرایط اسیدی بیشتر است (Rao et al., 2014, Xu and Li, 2014).

2010, García Perdomo et al., 2022)

از آنجایی که رادیکال های سولفاتات پتانسیل اکسیداسیون بیشتری نسبت به هیدروکسیل دارند حذف بیشتر آلاینده ها در مقدار pH اسیدی است (Avetta et al., 2015, Kim et al., 2015).

اکسیداسیون ناچیز پرسولفات سدیم و اشعه ماوراء بنفش، کارایی کمی دارد، همچنین می تواند ناشی از عدم وجود رادیکال های اکسیدکننده برای تخریب کارآمد آلاینده ها باشد (Norzaee et al., 2017, Takdastan et al., 2018)

عملکرد مولکول های پرسولفات سدیم به همراه اشعه ماوراء بنفش توانایی بیشتری در حذف آنتیبیوتیک نسبت به یون آهن موجود، در سرباره دارد، در نتیجه می توان تولید بیشتر رادیکال های سولفات در واکنش بین پرسولفات سدیم و اشعه ماوراء بنفش نسبت به یون آهن را توصیف کرد (Jafari et al., 2017, Jorfi et al., 2017) اما اتصال Fe^{2+} موجود در سرباره، پرسولفات سدیم و اشعه ماوراء بنفش با یکدیگر باعث افزایش حذف آنتیبیوتیک می شود که این امر به دلیل وجود فعال کننده های مختلف که منجر به تعزیزه مؤثر پرسولفات سدیم و تولید رادیکال های $\cdot\text{OH}$ و SO_4^{2-} است (Jorfi et al., 2016, Shiraz et al., 2018)

۲-۳- تأثیر pH محلول

pH محلول به دلیل تأثیر در تغییر درجه یونیزاسیون آلاینده ها و اکسیدان ها ویژگی های سطح و حلایلت عوامل واکنش، یکی از مؤثر ترین پارامترها در سیستم های اکسیداسیون است (Kermani et al., 2018b, Rezaei Kalantry et al., 2016)

اشر pH در محدوده ۱۰، ۸، ۶، ۴ و ۲ بر بازدهی حذف آنتیبیوتیک تتراسایکلین در حضور $0/2$ گرم بر لیتر یون آهن و ۳ میلی مولار پرسولفات سدیم برای غلظت ۲۰ میلی گرم در لیتر آنتیبیوتیک تتراسایکلین طی زمان واکنش ۶۰ دقیقه و در حضور لامپ UV با شدت اشعه ۸ وات انجام شد. در این آزمایش با افزایش pH از ۲ به ۱۰ بازدهی فرایند در حذف تتراسایکلین در مدت زمان ۶۰ دقیقه از ۹۴ درصد به ۴۳ درصد کاهش یافت. به عبارتی دیگر این فرایند برای حذف آنتیبیوتیک تتراسایکلین در محیط های اسیدی عملکرد بهتری در مقایسه با محیط های خنثی و قلیایی دارد. بنابراین مقدار pH بهینه را برای انجام مراحل بعدی آزمایش، معادل ۲ در نظر گرفته شد. نتایج توضیحات بیان شده در شکل ۱ نشان داده شده است.

نتایج به دست آمده از این پژوهش با نتایج سایر پژوهشگران



بنزوتريازول انجام شد، مشاهده شد که افزایش بیش از حد یون‌های آهن در محیط واکنش اثر نامطلوبی بر روی عملکرد فرایند دارد. آنها دلیل عتمده را برای این پدیده گزارش کردند (الف) واکنش یون‌های اضافی فروس با رادیکال‌های آزاد و ممانعت از واکنش آنها با ترکیبات آلی، ب) تولید مقدار مازاد رادیکال‌های آزاد در محلول واکنش که طی واکنش با یکدیگر منجر به تولید مجدد $\text{S}_2\text{O}_8^{2-}$ می‌شوند (Ahmadi et al., 2017b).

۴-۳- تأثیر غلظت پرسولفات سدیم
غلظت پرسولفات سدیم به دلیل تولید رادیکال‌های اکسیدکننده سولفات تأثیر قابل توجهی در اکسیداسیون آنتی‌بیوتیک دارد. در این مرحله تأثیر مقدار مختلف اکسیدان پرسولفات سدیم در ۷ سطح (۰/۱، ۰/۳، ۰/۵، ۰/۷۵، ۰/۱۰، ۰/۱۵، ۰/۲۱) میلی‌مولار در حذف تتراسایکلین در حضور ۰/۴ گرم در لیتر یون فروس، pH برابر ۲، در مدت زمان ۶۰ دقیقه و در حضور اشعه ماوراء بنفش با شدت ۸ وات انجام شد. طی نتایج به دست آمده و مطابق شکل ۲ مشاهده شد که بازدهی حذف آنتی‌بیوتیک با افزایش مقدار پرسولفات سدیم از ۰/۱ به ۰/۴ میلی‌مولار، افزایش می‌یابد.

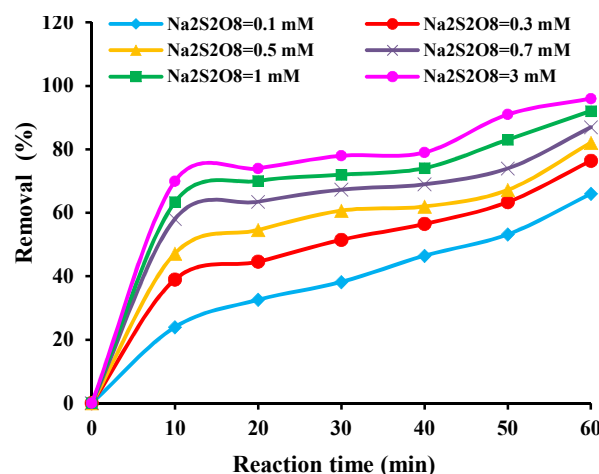


Fig. 2. The effect of different concentrations of sodium persulfate on the removal efficiency of tetracycline by the advanced oxidation process of sodium monopersulfate activated with steel industry slag

شکل ۲- تأثیر مقدار مختلف پرسولفات سدیم بر بازدهی حذف تتراسایکلین توسط فرایند اکسیداسیون پیشرفته مونوپرسولفات سدیم فعال شده با سرباره صنایع فولاد و یون‌های فلزی

2020)

در شرایط بسیار اسیدی فراوانی یون‌های هیدروژن (H^+) ممکن است منجر به تجزیه مولکول‌های پرسولفات سدیم و مهار هر دو رادیکال هیدروکسیل و سولفات شوند (Kermani et al., 2018a, Li et al., 2017, Tavassoli et al., 2018).

کاهش حذف آنتی‌بیوتیک در شرایط قلیایی می‌تواند ناشی از رسوب هم‌زمان آهن و تشکیل کمپلکس هیدروکسید، تبدیل رادیکال‌های سولفات به رادیکال‌های هیدروکسید باشد که گونه‌هایی با پتانسیل اکسیداسیون کمتر تولید می‌کند (Rao et al., 2014, Shiraz et al., 2018).

۳-۳- تأثیر غلظت‌های مختلف آهن موجود در سرباره صنایع فولاد

در این مرحله تأثیر غلظت‌های مختلف یون فروس موجود در سرباره صنایع فولاد را بر حذف تتراسایکلین در pH بهینه برابر با ۲ و در حضور ۲ میلی‌مولار پرسولفات سدیم طی زمان ۶۰ دقیقه در حضور لامپ UV با شدت ۸ وات و دمای ۲۰ درجه سلسیوس اندازه‌گیری شد. بعد از ۶۰ دقیقه واکنش با افزایش غلظت یون آهن از ۰/۱ به ۰/۴ گرم در لیتر بازدهی حذف برای تتراسایکلین از ۶۴/۱ درصد به ۹۱/۵ درصد افزایش یافته و سپس با افزایش مقدار یون فروس به ۰/۵ گرم در لیتر، بازدهی آنها به ۸۲/۴ درصد کاهش یافت. نتایج نشان داد که افزایش مقدار یون فروس تا یک حد مشخصی می‌تواند بازدهی فرایند در حذف آنتی‌بیوتیک را ارتقا دهد و افزایش بیشتر غلظت یون فروس تأثیر قابل توجهی بر روی بازدهی فرایند ندارد، این پدیده را می‌توان به تاثیر SO_4^{2-} با وجود یون‌های آهن اضافی و خود اتصالی ذرات آهن که باعث کاهش تعداد مکان‌های واکنش دهنده کاتالیزور در غلظت‌های بیشتر می‌شود نسبت داد (Babaei et al., 2015).

در نتیجه غلظت بهینه یون فروس برای حذف حدکشی تتراسایکلین برابر با ۰/۴ گرم در لیتر انتخاب شد. در بسیاری از پژوهش‌های مشابه پیرامون حذف آلاینده‌ها توسط فرایند اکسیداسیون پیشرفته منوپرسولفات یافته‌های مشابهی توسط پژوهشگران گزارش شده است.

در پژوهشی که توسط احمدی و همکاران در سال ۲۰۱۷ با هدف ارزیابی فرایند فوتوفتوتون در حذف آلاینده‌های آنیلین و



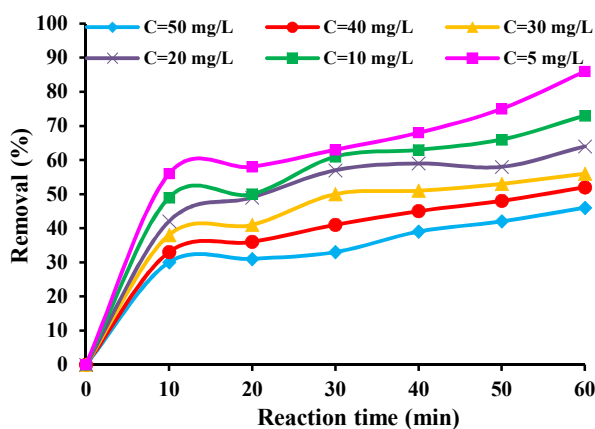


Fig. 3. The effect of different concentrations of tetracycline antibiotic on its removal efficiency by advanced oxidation process of sodium monopersulfate activated with steel industry slag

شکل ۳- تأثیر غلظت‌های مختلف آنتی‌بیوتیک تتراسایکلین بر بازدهی حذف آن توسط فرایند اکسیداسیون پیشرفته مونوپرسولفات سدیم فعال شده با سرباره صنایع فولاد

در پژوهشی که خزایی در سال ۲۰۱۹ با عنوان بررسی کارایی فرایند UV/پراکسی مونوپرسولفات در حذف آنتی‌بیوتیک سفکسیم از محلول‌های آبی انجام دادند به این نتیجه رسیدند که با افزایش غلظت اولیه آنتی‌بیوتیک از ۵ به ۲۰ میلی‌گرم در لیتر کارایی حذف آنتی‌بیوتیک سفکسیم از ۹۳/۱۸ به ۹۱/۳۷ درصد کاهش پیدا می‌کند یعنی میزان غلظت آنتی‌بیوتیک با میزان کارایی فرایند حذف رابطه معکوس دارد (Khazaei et al., 2019).

در پژوهشی که حمزه‌زاده و همکاران در سال ۲۰۱۷ به عنوان بررسی فرایند نانو/پرسولفات در حذف آنتی‌بیوتیک مترونیدازول از محیط‌های آبی انجام دادند، به این نتیجه رسیدند که در شرایط بهینه بیشترین کارایی حذف مربوط به زمانی است که مترونیدازول در کمترین غلظت خود است (Hamzehzadeh et al., 2017).

۶- تأثیر شدت اشعه ماوراء بنفش

در فرایند اکسیداسیون پیشرفته شدت اشعه ماوراء بنفش، عامل مهمی در حذف آلانین‌های است. در این مرحله از آزمایش، آنتی‌بیوتیک تتراسایکلین در غلظت ۵ میلی‌گرم در لیتر، pH ۲، دمای ۲۰ درجه سلسیوس، زمان واکنش ۶۰ دقیقه، غلظت پرسولفات سدیم ۲ میلی‌مولار و میزان شدت اشعه ماوراء بنفش

بازدهی حذف برای مقدار ۱/۰ و ۲ میلی‌مولار پرسولفات سدیم برای تتراسایکلین برابر با ۶۶ و ۹۶ درصد است و حداً کارایی حذف آنتی‌بیوتیک تتراسایکلین در غلظت ۲ میلی‌مولار پرسولفات سدیم بدست آمد، بنابراین مقدار پرسولفات سدیم بهینه در این آزمایش ۲ میلی‌مولار در نظر گرفته شد. با استفاده از غلظت‌های بیشتر پرسولفات سدیم، تعداد بیشتری رادیکال سولفات تولید می‌شود که حذف آلانین‌ها را تسريع می‌کند (Ahmadi et al., 2017b; Babaei et al., 2017)

در واقع با افزایش نسبت مولی پرسولفات سدیم نسبت به آلانین، مولکول‌های اکسیدان بیشتری برای حذف مواد آلی تشکیل می‌شود که کارایی حذف را بهبود می‌بخشد (Jafari et al., 2017; Kermani et al., 2018b)

حمزه‌زاده و همکاران در سال ۲۰۱۷ پژوهشی به عنوان بررسی کارایی فرایند نانو/پرسولفات در حذف آنتی‌بیوتیک مترونیدازول انجام دادند و به این نتیجه رسیدند که هر چه میزان غلظت پرسولفات بیشتر باشد میزان حذف آنتی‌بیوتیک مترونیدازول بیشتر است (Hamzehzadeh et al., 2017).

۵- تأثیر غلظت آنتی‌بیوتیک تتراسایکلین

برای انجام این مرحله از آزمایش آنتی‌بیوتیک تتراسایکلین در غلظت‌های ۵، ۱۰، ۲۰، ۳۰، ۴۰ و ۵ میلی‌گرم در لیتر و pH ۲، سطح دمایی ۲۰ درجه سلسیوس، زمان واکنش ۶۰ دقیقه و غلظت پرسولفات سدیم ۲ میلی‌مولار بررسی شدند. همان طور که در شکل ۳ نشان داده شده، وقتی غلظت اولیه آنتی‌بیوتیک از ۵ میلی‌گرم در لیتر به ۵۰ میلی‌گرم در لیتر افزایش می‌یابد، بازدهی حذف تتراسایکلین به ترتیب از ۸۶ درصد به ۴۶ درصد کاهش می‌یابد.

حذف آنتی‌بیوتیک با غلظت اولیه آن رابطه مستقیم دارد (Ferkous et al., 2017). به طور کلی در غلظت‌های کم، مولکول‌های آلانین می‌توانند به طور عمده حذف شوند زیرا تعداد گونه‌های واکنش پذیر کافی است در حالی که در غلظت‌های بیشتر آلانین کمبود رادیکال‌های اکسیدکننده باعث رقابت بین واسطه‌ها و مولکول‌های آلانین، برای گونه‌های واکنش پذیر می‌شود (Esrafil et al., 2016; Ghauch et al., 2017; Jafari et al., 2017)



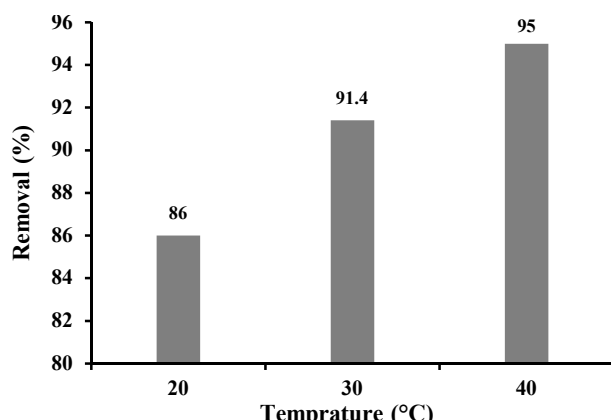


Fig. 4. Effect of solution temperature on tetracycline removal efficiency by advanced oxidation process of sodium monopersulfate activated with steel industry slag in the range of 20, 30 and 40 °C

شکل ۴- تأثیر دمای محلول بر روی بازدهی حذف تتراسایکلین توسط فرایند اکسیدا سیون پیشرفته مونوپرسولفات سدیم فعال شده با سرباره صنایع فولاد در محدوده ۲۰، ۳۰ و ۴۰ درجه سلسیوس

ماورای بنسخ ۸ وات و غلظت پرسولفات سدیم ۲ میلی مولار بررسی شد و نتایج آن در شکل ۴ نمایش داده شده است. نتایج نشانگر آن است که بعد از ۶۰ دقیقه واکنش، افزایش دمای محلول تأثیر مطلوبی بر روی عملکرد فرایند بیان شده در حذف آنتی بیوتیک تتراسایکلین داشته است، به گونه ای که با افزایش دمای محلول از ۲۰ به ۴۰ درجه سلسیوس کارایی حذف تتراسایکلین از ۸۶ درصد به ۹۵ درصد افزایش یافت. در نتیجه دمای ۴۰ درجه سلسیوس به عنوان دمای بهینه برای حذف آنتی بیوتیک تتراسایکلین توسط فرایند اکسیدا سیون پیشرفته انتشاری افزایش سدیم پرسولفات دارد. علت احتمالی این افزایش را می توان به افزایش درصد تجزیه پرسولفات سدیم و تشکیل بیشتر رادیکال های سولفات (SO_4^{2-}) در دمای پیشتر نسبت داد (Ji et al., 2015, Tan et al., 2012).

هان و همکاران در پژوهشی پیرامون تجزیه آنتی بیوتیک تتراسایکلین توسط فرایند فتو فنتون دریافتند تأثیر دمای محلول بر روی عملکرد فرایند تجزیه آنتی بیوتیک به دلیل تجزیه بیشتر مولکول های پراکسید هیدروژن افزایش یافته است و با افزایش

جدول ۱- تأثیر شدت اشعه ماورای بنسخ بر بازدهی حذف آنتی بیوتیک تتراسایکلین

Table 1. The effect of ultraviolet (UV) intensity on the removal efficiency of tetracycline antibiotics

UV(Watt)	4	6	8
Tetracycline Removal (%)	86.3%	91.4%	98.2%

۴.۶.۸ وات در نظر گرفته شد. طبق نتایج به دست آمده که در جدول ۱ نشان داده شده است، میزان حذف آنتی بیوتیک تتراسایکلین رابطه مستقیمی با شدت اشعه ماورای بنسخ دارد. بازدهی حذف آنتی بیوتیک تتراسایکلین در هنگامی که شدت اشعه ماورای بنسخ برابر ۴، ۶ و ۸ وات باشد به ترتیب برابر با $91/4$ ، $98/2$ و $86/3$ درصد به دست آمد. بنابراین حداکثر کارایی حذف آنتی بیوتیک تتراسایکلین در این آزمایش در شدت ۸ وات اشعه ماورای بنسخ حاصل شده است و لامپ UV با شدت ۸ وات برای ادامه آزمایش ها انتخاب و استفاده شد. این پدیده را می توان به تأثیر مهار (SO_4^{2-}) به عنوان تولید یون های آهن اضافی از سنگ دانه ها و متصل شدن ذرات آهن که تعداد مکان های واکنش دهنده کاتالیزور را در غلظت های زیاد کاهش می دهد، نسبت داد (Jorfi et al., 2017).

جرفی و همکاران در سال ۲۰۱۷ در بررسی بازدهی فرایندهای اکسیدا سیون پیشرفته بر روی تجزیه مواد آلی نشان دادند که با افزایش شدت امواج UV میزان تجزیه مواد آلی به طور قابل ملاحظه ای افزایش می یابد و حداکثر بازدهی معدنی سازی فرایند در بیشترین شدت لامپ UV حاصل شده است (Jorfi et al., 2017)

۷-۳- تأثیر دمای محلول

دما در تجزیه مولکول های پرسولفات سدیم و تولید رادیکال های سولفات در سیستم اکسیدا سیون پیشرفته نقش انکارناپذیری دارد. در این مرحله عملکرد فرایند اکسیدا سیون پیشرفته پرسولفات سدیم فعال شده با سرباره صنایع فولاد در حذف آنتی بیوتیک تتراسایکلین با غلظت اولیه 5mg/L و در محدوده دمایی 20 ، 30 و 40 درجه سلسیوس، pH برابر 2 ، زمان واکنش 60 دقیقه، میزان اشعه



افزایش زمان فرایند تا ۹۰ دقیقه، کارایی حذف آنتیبیوتیک تتراسایکلین از محلول‌های آبی افزایش می‌یابد. همچنین در بررسی کارایی فرایند اکسیداسیون پیشرفت UV/H_2O_2 در حذف آنتیبیوتیک سفتریاکسون از محیط‌های آبی به این نتیجه رسید که هر چه زمان واکنش بیشتر باشد درصد حذف آنتیبیوتیک بیشتر است و در بیشترین زمان ماند (۳ ساعت) بیشترین میزان کارایی حذف آنتیبیوتیک سفتریاکسون (درصد ۷۵) به دست آمد (Amlashi, 2014).

۳-۹- مطالعات معدنی‌سازی و تجزیه بیولوژیکی
میزان معدنی‌سازی توسط فرایند اکسیداسیون پیشرفت پرسولفات سدیم فعال شده با سرباره صنایع فولاد با استفاده از دو شاخص COD و TOC ارزیابی شد. در این مرحله آزمایش‌ها اکسیداسیون تحت شرایط بهینه طی مدت زمان ۶۰ دقیقه انجام شدند و سپس غلظت‌های COD و TOC سنجش شد. نتایج نشان داد که فرایند اکسیداسیون پیشرفت پرسولفات سدیم فعال شده با سرباره صنایع فولاد تحت شرایط بهینه قادر است ۶۱/۸ درصد از COD و ۴۸/۹ درصد از TOC را برای آنتیبیوتیک تتراسایکلین حذف کند. عدم تخریب کامل COD و TOC به دلیل واسطه‌های مختلف است که به راحتی در مقایسه با ترکیبات اصلی اکسید نمی‌شوند (Kermani et al., 2018b).

در سایر مطالعات پیرامون فرایندهای اکسیداسیون پیشرفت‌های حذف کامل COD حاصل نشده که با نتایج به دست آمده در این پژوهش هم خوانی دارند. تکستان و همکاران در سال ۲۰۱۸ در بررسی عملکرد فرایند فتوافتون در حذف تتراسایکلین از محیط‌های آبی بازدهی معدنی‌سازی را بر مبنای شاخص TOC برابر با ۴۳/۷ درصد گزارش کردند (Takdastan et al., 2018).

در پایان تست Zahn-Wellens (تجزیه پذیری زیستی) نمونه‌های حاوی آنتیبیوتیک تتراسایکلین قبل و بعد از تصفیه توسط فرایند اکسیداسیون پیشرفت پرسولفات سدیم فعال شده با یون‌های آهن موجود در سرباره صنایع فولاد به همراه یک نمونه شاهد ارزیابی شد. در طول دوره ۲۸ روزه مقدار COD باقیمانده هر سه نمونه سنجش شد، نتایج به دست آمده نشان می‌دهد که مقدار باقیمانده COD آنتیبیوتیک تتراسایکلین برای هر دو نمونه خام و

دمای محلول نرخ تجزیه مولکول‌های پراکسید هیدروژن و تبدیل آنها به رادیکال‌های هیدروکسیل به سرعت افزایش می‌یابد و سینتیک تجزیه تتراسایکلین در دماهای بیشتر محلول سریع‌تر از دماهای کمتر است (Han et al., 2020).
جیانگ و همکاران در سال ۲۰۱۸ گزارش کردند که نرخ تجزیه مواد آلی و میزان تولید رادیکال‌های اکسنده با افزایش دما افزایش می‌یابد (Jiang et al., 2018).

۸-۳- بررسی تأثیر اثر زمان

در این مرحله با استفاده از سطح بهینه دما، pH، پرسولفات سدیم و غلظت بهینه آنتیبیوتیک و در سطوح زمانی ۴۵، ۶۰، ۳۰ و ۱۵ دقیقه آزمایش انجام شد. میزان دمای بهینه ۴۰ درجه سلسیوس، pH برابر ۲، ۲ میلی مولار پرسولفات سدیم و میزان آنتیبیوتیک ۵ میلی‌گرم در لیتر بود. طبق نتایج به دست آمده که در شکل ۵ نشان داده شده است، در سطوح بهینه پارامترها، بهترین زمان واکنش برای حذف آنتیبیوتیک تتراسایکلین ۶۰ دقیقه است.

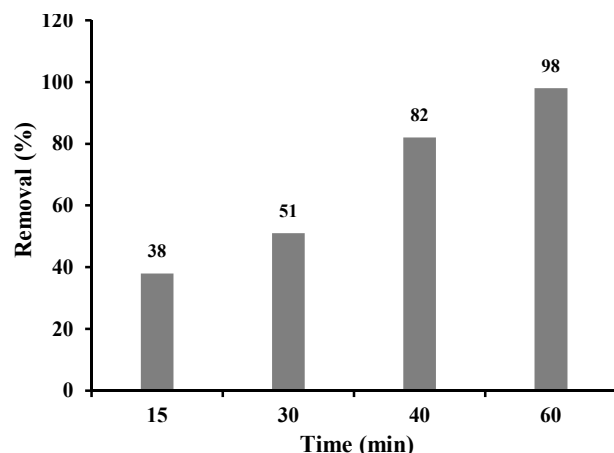


Fig. 5. The effect of different values of reaction time on the removal efficiency of tetracycline at time levels 15-60 min

شکل ۵- تأثیر مقدار مختلف زمان واکنش بر بازدهی حذف تتراسایکلین در سطوح زمانی ۱۵ تا ۶۰ دقیقه

املشی در پژوهشی در سال ۲۰۱۴ تحت عنوان تجزیه فتوکاتالیستی آنتیبیوتیک تتراسایکلین از محلول‌های آبی با استفاده از فرایند $UV/TiO_2/H_2O_2$ و UV/TiO_2 دریافت که با



آنتی‌بیوتیک تتراسایکلین از نمونه فاضلاب واقعی بیمارستان نفت اهواز

در این مرحله از آزمایش پس از تهیه نمونه فاضلاب از تصفیه‌خانه فاضلاب بیمارستان بزرگ نفت اهواز و اندازه‌گیری برخی مشخصات شیمیایی که شامل، COD برابر ۵۹۰ میلی‌گرم در لیتر، BOD برابر ۳۵۰ میلی‌گرم در لیتر و مقدار pH برابر ۷/۶ است و سنجش میزان آنتی‌بیوتیک تتراسایکلین مشاهده شد که در بعضی از روزها نمونه فاضلاب حاوی غلظت‌های بسیار پایین (کمتر از ۲۰ میکروگرم در لیتر) آنتی‌بیوتیک تتراسایکلین و در زمان‌هایی هم نمونه‌ها حاوی ۲۰ تا ۲۱ میلی‌گرم در لیتر آنتی‌بیوتیک تتراسایکلین بود. در نهایت به منظور ارزیابی بازدهی فرایند، غلظت آنتی‌بیوتیک تتراسایکلین در نمونه فاضلاب واقعی ۲۰ میلی‌گرم در لیتر در نظر گرفته شد، پس از شناسایی ویژگی‌های پساب، عملکرد فرایند اکسیداسیون پیشرفته مونوپرسولفات سدیم فعال شده با سرباره صنایع فولاد تحت شرایط بهینه در حذف آنتی‌بیوتیک تتراسایکلین از نمونه فاضلاب واقعی ارزیابی و با بازدهی فرایند برای نمونه‌های سنتتیک مقایسه شد. تحت این شرایط بازدهی حذف تتراسایکلین برای نمونه‌های سنتتیک ۹۸ درصد و برای نمونه‌های واقعی فاضلاب ۸۰ درصد بدست آمد.

کارایی حذف آنتی‌بیوتیک تتراسایکلین برای نمونه‌های واقعی تا حدودی کمتر از نمونه سنتتیک بوده است. کاهش بازدهی فرایند در نمونه واقعی ممکن است به دلیل حضور عوامل مزاحم مانند کاتیون‌ها و آنیون و یا دیگر مواد آلی باشد. حضور کاتیون‌ها و آنیون‌ها در اینجا می‌توانند در نقش اسکاؤنجرهای معدنی وارد و اکتش شود و رادیکال‌های آزاد موجود در سیستم را مصرف کنند، بنابراین از این طریق مانع واکنش بین رادیکال‌های آزاد و ماده آلی می‌شوند. در فاضلاب بیمارستانی طیف گسترده‌ای از ترکیبات دارویی و آلی حضور داشته که می‌توانند با رادیکال‌های آزاد واکنش دهند و آنها را مصرف کنند، از این‌رو بازدهی حذف آنتی‌بیوتیک تتراسایکلین کاهش می‌یابد.

۴- نتیجه‌گیری

بر اساس یافته‌های به دست آمده، فرایند اعمال شده وابستگی زیادی به pH محلول داشته و با pH محلول رابطه غیرمستقیم دارد. استفاده

تصفیه شده، روند کاهشی داشته و مقدار COD نمونه فاضلاب خام از ۲۸/۵ به ۲۳/۵ میلی‌گرم بر لیتر و برای نمونه تصفیه شده از ۱۶/۵ به ۵/۸ میلی‌گرم بر لیتر کاهش یافت. همچنین با افزایش زمان تصفیه بیولوژیکی درصد تجزیه زیستی هر دو نمونه خام و تصفیه شده افزایش پیدا کرده و درصد تجزیه پذیری زیستی برای نمونه‌های تصفیه شده به مراتب بیشتر از نمونه‌های خام بود. به گونه‌ای که میزان تجزیه پذیری زیستی آنتی‌بیوتیک تتراسایکلین ۴۳/۸ درصد برای نمونه خام و ۸۰/۶ درصد برای نمونه تصفیه شده حاصل شد.

۱۰- سینتیک واکنش اکسیداسیون پرسولفات سدیم فعال شده با سرباره صنایع فولاد

در این پژوهش، سینتیک شبهدرجه اول برای فرایند اکسیداسیون پرسولفات سدیم فعال شده با سرباره صنایع فولاد، تحت شرایط بهینه بررسی شد. مقدار پارامترهای سینتیک شبهدرجه اول برای حذف ۲۰ میلی‌گرم بر لیتر آنتی‌بیوتیک تتراسایکلین توسط فرایند بیان شده در جدول ۲ ارائه شده است. همان طوری که در این جدول مشاهده می‌شود ضرایب ثابت سرعت واکنش فرایند بیان شده برای تتراسایکلین برابر با 10^{-3} min^{-1} و مقدار ضریب تعیین نیز بیش از ۹۵٪ به دست آمد.

جدول ۲- پارامترهای مدل سینتیک شبهدرجه اول برای تجزیه تتراسایکلین توسط فرایند اکسیداسیون پیشرفته مونوپرسولفات سدیم فعال شده با سرباره صنایع فولاد

Table 2. Parameters of a quasi-first-order kinetic model for the decomposition of tetracycline by the advanced oxidation process of sodium monopropesulfate activated with steel industry slag

Antibiotic	Kinetic equation	Constant speed $10^{-3} \text{*(k}_{\text{obs}}\text{)}$	The correlation coefficeint (R ²)
Tetracycline	Y=0.064X+0.42	64	0.972

۱۱- بررسی بازدهی فرایند اکسیداسیون پیشرفته پرسولفات سدیم فعال شده با سرباره صنایع فولاد در حذف



سخت تجزیه‌پذیر و قبل از فرایندهای بیولوژیکی استفاده شود. در نهایت، سیستم اکسیداسیون پیشرفت‌هه بر پایه رادیکال سولفات با اکسیداسیون بالا برای تخریب مواد آلی مقاوم به تجزیه از جمله آنتی‌بیوتیک‌ها با استفاده از اکسید آهن موجود در پسماند دور ریز سرباره صنایع فولاد به عنوان روشی جدید، کارآمد و بدون تولید آلودگی ثانویه در محلول‌های آبی است.

۵- قدردانی

از تمامی متخصصین و افرادی که در این پژوهش ما را یاری کردند قدردانی می‌شود.

از دوزهای بالای آهن تا حدی معین منجر به حذف بیشتر آنتی‌بیوتیک شد، همچنین با افزایش غلظت اولیه آنتی‌بیوتیک تتراسایکلین، میزان حذف کاهش یافت، در حالی که با افزودن دوزهای بیشتر مونوپرسولفات سدیم به داخل محلول، سیستم توانایی بیشتری در حذف آنتی‌بیوتیک از محلول آبی نشان داد. علاوه بر این، عملکرد خوبی برای سیستم اکسیداسیون پیشرفت‌هه آنتی‌بیوتیک تتراسایکلین در یک نمونه فاضلاب واقعی مشاهده شد. این فرایند عملکرد مؤثری در افزایش قابلیت تجزیه‌پذیری زیستی آلاینده‌های آلی داشته و می‌تواند به عنوان یک روش مؤثر در پیش تصفیه فاضلاب‌های حاوی آنتی‌بیوتیک و یا مواد آلی

References

- Ahmadi, M., Kakavandi, B., Jaafarzadeh, N. & Babaei, A. A. 2017a. Catalytic ozonation of high saline petrochemical wastewater using PAC@ FeIIFe₂III O₄: optimization, mechanisms and biodegradability studies. *Separation and Purification Technology*, 177, 293-303.
- Ahmadi, M., Kakavandi, B., Jorfi, S. & Azizi, M. 2017b. Oxidative degradation of aniline and benzotriazole over PAC@ FeIIFe₂III O₄: a recyclable catalyst in a heterogeneous photo-fenton-like system. *Journal of Photochemistry and Photobiology A: Chemistry*, 336, 42-53.
- Avetta, P., Pensato, A., Minella, M., Malandrino, M., Maurino, V., Minero, C., et al., 2015. Activation of persulfate by irradiated magnetite: implications for the degradation of phenol under heterogeneous photo-fenton-like conditions. *Environmental Science and Technology*, 49, 1043-1050.
- Amlashi, A. N. 2014. The study of advanced oxidation process (UV/H₂O₂) performance in removal of the ceftriaxone antibiotic from aqueous solution. *Yafteh*, 16, 23-31. (In Persian)
- Babaei, A. A., Azari, A., Kalantary, R. R. & Kakavandi, B. 2015. Enhanced removal of nitrate from water using nZVI@ MWCNTs composite: synthesis, kinetics and mechanism of reduction. *Water Science and Technology*, 72, 1988-1999.
- Babaei, A. A., Kakavandi, B., Rafiee, M., Kalantarhormizi, F., Purkaram, I., Ahmadi, E., et al., 2017. Comparative treatment of textile wastewater by adsorption, fenton, UV-fenton and US-fenton using magnetic nanoparticles-functionalized carbon (MNPs@ C). *Journal of Industrial and Engineering Chemistry*, 56, 163-174.
- Esrafili, A., Rezaei Kalantary, R., Azari, A., Ahmadi, E. & Gholami, M. 2016. Removal of diethyl phthalate from aqueous solution using persulfate-based (UV/Na₂S₂O₈/Fe²⁺) advanced oxidation process. *Journal of Mazandaran University of Medical Sciences*, 25, 122-135. (In Persian)
- Ferkous, H., Merouani, S., Hamdaoui, O. & Pétrier, C. 2017. Persulfate-enhanced sonochemical degradation of naphthol blue black in water: evidence of sulfate radical formation. *Ultrasonics Sonochemistry*, 34, 580-587.
- Gao, L., Shi, Y., Li, W., Niu, H., Liu, J. & Cai, Y. 2012. Occurrence of antibiotics in eight sewage treatment plants in Beijing, China. *Chemosphere*, 86, 665-671.
- García Perdomo, C. M., Ramírez Minota, P. A., Zúñiga-Benítez, H. & Peñuela, G. A. 2022. Cephalexin removal by persulfate activation using simulated sunlight and ferrous ions. *Water Science and Technology*, 85, 52-62.



- Ghauch, A., Baalbaki, A., Amasha, M., El Asmar, R. & Tantawi, O. 2017. Contribution of persulfate in UV-254 nm activated systems for complete degradation of chloramphenicol antibiotic in water. *Chemical Engineering Journal*, 317, 1012-1025.
- Guo, H., Ke, T., Gao, N., Liu, Y. & Cheng, X. 2017. Enhanced degradation of aqueous norfloxacin and enrofloxacin by UV-activated persulfate: kinetics, pathways and deactivation. *Chemical Engineering Journal*, 316, 471-480.
- H Mahdi, M. J., Mohammed, T. & A. Al-Najar, J. 2021. Removal of tetracycline antibiotic from wastewater by Fenton oxidation process. *Engineering and Technology Journal*, 39, 260-267.
- Han, C. H., Park, H. D., Kim, S. B., Yargeau, V., Choi, J. W., Lee, S. H. et al., 2020. Oxidation of tetracycline and oxytetracycline for the photo-Fenton process: their transformation products and toxicity assessment. *Water Research*, 172, 115514.
- Hamzehzadeh, A., Fazlzadeh, M. & Rahmani, K. 2017. Efficiency of nano/persulfate process (nzvi/ps) in removing metronidazole from aqueous solution. *Journal of Environmental Health Engineering*, 4, 307-320. (In Persian)
- Jafari, A. J., Kakavandi, B., Jaafarzadeh, N., Kalantary, R. R., Ahmadi, M. & Babaei, A. A. 2017. Fenton-like catalytic oxidation of tetracycline by AC@ Fe₃O₄ as a heterogeneous persulfate activator: adsorption and degradation studies. *Journal of Industrial and Engineering Chemistry*, 45, 323-333.
- Jeong, J., Song, W., Cooper, W. J., Jung, J. & Greaves, J. 2010. Degradation of tetracycline antibiotics: mechanisms and kinetic studies for advanced oxidation/reduction processes. *Chemosphere*, 78, 533-540.
- Ji, Y., Fan, Y., Liu, K., Kong, D. & Lu, J. 2015. Thermo activated persulfate oxidation of antibiotic sulfamethoxazole and structurally related compounds. *Water Research*, 87, 1-9.
- Jorfi, S., Barzegar, G., Ahmadi, M., Soltani, R. D. C., Takdastan, A., Saeedi, R., et al., 2016. Enhanced coagulation-photocatalytic treatment of acid red 73 dye and real textile wastewater using UVA/synthesized MgO nanoparticles. *Journal of Environmental Management*, 177, 111-118.
- Jorfi, S., Kakavandi, B., Motlagh, H. R., Ahmadi, M. & Jaafarzadeh, N. 2017. A novel combination of oxidative degradation for benzotriazole removal using TiO₂ loaded on FeIIFe₂III₂O₄@ C as an efficient activator of peroxymonosulfate. *Applied Catalysis B: Environmental*, 219, 216-230.
- Jiang, L., Zhang, Y., Zhou, M., Liang, L. & Li, K. 2018. Oxidation of Rhodamine B by persulfate activated with porous carbon aerogel through a non-radical mechanism. *Journal of Hazardous Materials*, 358, 53-61.
- Kermani, M., Kakavandi, B., Farzadkia, M., Esrafili, A., Jokandan, S. F. & Shahsavani, A. 2018a. Catalytic ozonation of high concentrations of catechol over TiO₂@ Fe₃O₄ magnetic core-shell nanocatalyst: optimization, toxicity and degradation pathway studies. *Journal of Cleaner Production*, 192, 597-607.
- Kermani, M., Mohammadi, F., Kakavandi, B., Esrafili, A. & Rostamifasih, Z. 2018b. Simultaneous catalytic degradation of 2, 4-D and MCPA herbicides using sulfate radical-based heterogeneous oxidation over persulfate activated by natural hematite (α -Fe₂O₃/PS). *Journal of Physics and Chemistry of Solids*, 117, 49-59.
- Kim, T., Kim, S., Tak, H., Kim, K., Chung, C. W. & Lee, M. 2020. Mechanisms at different pH for stabilization of arsenic in mine tailings using steelmaking slag. *Minerals*, 10, 900.
- Kurt, A., Mert, B. K., Özengin, N., Sivrioğlu, Ö. & Yonar, T. 2017. Treatment of antibiotics in wastewater using advanced oxidation processes (AOPs). *Physico-Chemical Wastewater Treatment and Resource Recovery*, 175.
- Khazaei, R., Rahmani, A., Seidmohammadi, A., Faradmal, J. & Leili, M. 2019. Evaluation of the efficiency of photocatalytic UV/peroxymonosulfate process in the removal of cefexime antibiotic from aqueous solutions. *Scientific Journal of Kurdistan University of Medical Sciences*, 24, 22-40. (In Persian)



- Li, R., Kong, J., Liu, H., Chen, P., Liu, G., Li, F., et al., 2017. A sulfate radical based ferrous–peroxydisulfate oxidative system for indomethacin degradation in aqueous solutions. *RSC Advances*, 7, 22802-22809.
- Liu, P., Wu, Z., Abramova, A. V. & Cravotto, G. 2021. Sonochemical processes for the degradation of antibiotics in aqueous solutions: a review. *Ultrasonics Sonochemistry*, 105566.
- Liu, X., Lee, J., Ji, K., Takeda, S. & Choi, K. 2012. Potentials and mechanisms of genotoxicity of six pharmaceuticals frequently detected in freshwater environment. *Toxicology Letters*, 211, 70-76.
- Michael, I., Rizzo, L., Mcardell, C., Manaia, C., Merlin, C., Schwartz, T., et al., 2013. Urban wastewater treatment plants as hotspots for the release of antibiotics in the environment: a review. *Water Research*, 47, 957-995.
- Norzaee, S., Bazrafshan, E., Djahed, B., Kord Mostafapour, F. & Khaksefidi, R. 2017. UV activation of persulfate for removal of penicillin G antibiotics in aqueous solution. *The Scientific World Journal*, 2017, 3519487.
- Rao, Y., Qu, L., Yang, H. & Chu, W. 2014. Degradation of carbamazepine by Fe (II)-activated persulfate process. *Journal of Hazardous Materials*, 268, 23-32.
- Rezaei Kalantry, R., Jonidi Jafari, A., Esrafili, A., Kakavandi, B., Gholizadeh, A. & Azari, A. 2016. Optimization and evaluation of reactive dye adsorption on magnetic composite of activated carbon and iron oxide. *Desalination and Water Treatment*, 57, 6411-6422.
- Shiraz, A. D., Takdastan, A. & Borghei, S. M. 2018. Photo-fenton like degradation of catechol using persulfate activated by UV and ferrous ions: influencing operational parameters and feasibility studies. *Journal of Molecular Liquids*, 249, 463-469.
- Takdastan, A., Abtahi, M., Sarshir, A., Bazafkan, M. & Saeidi, R. 2017. Investigation of Khuzestan steel company's modified slag in removal of aluminum from aqueous solutions: adsorption isotherm and kinetic studies. *Journal of Health Research in Community*, 3, 78-85. (In Persian)
- Takdastan, A., Kakavandi, B., Azizi, M. & Golshan, M. 2018. Efficient activation of peroxymonosulfate by using ferroferric oxide supported on carbon/UV/US system: a new approach into catalytic degradation of bisphenol A. *Chemical Engineering Journal*, 331, 729-743.
- Tan, C., Gao, N., Deng, Y., An, N. & Deng, J. 2012. Heat-activated persulfate oxidation of diuron in water. *Chemical Engineering Journal*, 203, 294-300.
- Tavassoli, P., Bazrafshan, E., Kord Mostafapour, F., Maghsoodi, Z., Balarak, D., et al., 2018. Efficiency of UV activated persulfate in removal of ofloxacin from aqueous solutions. *Journal of Mazandaran University of Medical Sciences*, 28, 116-129.
- Xu, X. R. & Li, X. Z. 2010. Degradation of azo dye Orange G in aqueous solutions by persulfate with ferrous ion. *Separation and Purification Technology*, 72, 105-111.



This work is licensed under a [Creative Commons Attribution 4.0 International License](#).

